

УДК 544.478.1:544.478.4

Дизайн бифункциональных катализаторов на основе цеолитов BEA для tandem-процессов с участием этанола

**H. A. Попович¹, О. В. Ларина¹, С. Н. Орлик¹, П. И. Кириенко¹,
С. А. Соловьев¹, С. Дзвигай (S. Dzwigaj)²**

¹ Институт физической химии им. Л. В. Писаржевского НАН Украины
просп. Науки, 31, Киев 03028, Украина. E-mail: orlyk@inphyschem-nas.kiev.ua

² Sorbonne Universités, UPMC Univ Paris 06, CNRS, UMR 7197, Laboratoire de Réactivité de Surface
F-75005, Paris, France

Представлены результаты создания цеолитных катализаторов структуры BEA, содержащих гетероэлементы (Ta, Nb) и модифицированных d-металлами (Ag, Cu, Zn), для процессов с участием этанола. Активность Ag/BEA в процессе селективного восстановления оксидов азота (NO_x) этанолом обусловлена наличием кислотных и редокс-центров поверхности; промотирующее влияние водорода обеспечивается наличием кислотных центров Льюиса и нанокластеров серебра. В процессе получения 1,3-бутадиена из этанола в присутствии Cu/Ta/SiBEA достигаются наибольшие значения конверсии этанола и селективности образования целевого продукта с высоким (>60 %) выходом.

Ключевые слова: цеолит BEA; СКВ $\text{NO}-\text{C}_2\text{H}_5\text{OH} (+\text{H}_2)$; Ag/BEA; гетероэлементы Ta, Nb; этанол/ацетальдегид; 1,3-бутадиен.

Создание новых и усовершенствование существующих катализаторов для сложных (многостадийных) процессов как продуцирующего, так и экологического катализа основано на целенаправленном конструировании пространственно-организованных структур с заданными функциональными свойствами [1, 2]. Наиболее эффективные катализаторы таких процессов характеризуются оптимальным сочетанием функциональных центров поверхности. Для осуществления так называемых tandem-процессов требуется наличие различных типов активных центров [3], в частности окислительно-восстановительных и кислотно-основных. Например, наиболее эффективные катализаторы процессов De NO_x (особенно селективного восстановления оксидов азота, СКВ-процесс) являются бифункциональными и характеризуются оптимальным сочетанием окислительно-восстановительных и кислотных центров поверхности [4].

Использование в таких процессах цеолитных катализаторов обусловлено возможностью целенаправленного регулирования их кислотно-основных и редокс-свойств уже на этапе синтеза, в частности для цеолитов структуры BEA путем dealюминирования с последующим введением в кристаллическую решетку катионов определенных гетероэлементов.

В настоящей работе представлены результаты дизайна цеолитных катализаторов структуры BEA на основе выяснения роли компонентов каталитических композиций в проявлении бифункциональных свойств поверхности, оптимального сочетания окислительно-восстановительных и кислотно-основных центров для повышения активности, селективности и производительности катализаторов в процессах с участием этанола — селективного восстановления оксидов азота (до молекулярного азота) и получения 1,3-бутадиена.

Цеолиты Ag/BEA в процессе СКВ NO этанолом

Для процесса селективного каталитического восстановления (СКВ) оксидов азота органическими соединениями (углеводородами, оксигенатами) предложены композиции на основе цеолитов различных структурных типов (MFI, MOR, FAU, BEA). Интерес к серебросодержащим композициям значительно возрос после обнаружения промотирующего эффекта водорода на процесс СКВ NO_x [5, 6]. Исследованию природы активных центров таких катализаторов в литературе уделяется значительное внимание, при этом активными центрами СКВ NO_x рассматриваются ионы Ag^+ [7—9], нанокластеры серебра

(Ag_n^{+} , $n \leq 8$) [6], поверхностные структуры типа $\text{Ag}-\text{O}-\text{Al}$ [10, 11].

Для выяснения влияния алюминия в составе катализаторов Ag/BEA на протекание процесса СКВ NO этанолом проведено исследование цеолитных катализаторов с разной степенью деалюминирования, приготовленных двухстадийным постсинтетическим методом [12, 13]. Процедура приготовления включает на первой стадии обработку водным раствором азотной кислоты для удаления органического темплаты и атомов алюминия, на второй — пропитку цеолита водным раствором нитрата серебра. Приготовлены образцы цеолитных катализаторов с силикатным модулем (Si/Al) 12, 100, 200, 1000 и содержанием серебра 1,5—4,0 % мас.

Дифрактограммы исходного AlBEA ($\text{Si}/\text{Al} = 12$), частично деалюминированных AlSiBEA ($\text{Si}/\text{Al} = 100$ и 200) и деалюминированного SiBEA ($\text{Si}/\text{Al} = 1000$) представляются типичными для цеолитов BEA, не содержат признаков аморфизации или образования новых фаз. Возможность деалюминирования цеолита BEA обусловлена тем, что в его структуре уже имеются вакансии Т-атомов (т. е. вакансии центральных атомов алюминия в тетраэдрах TO_4 , из которых состоит матрица цеолита), поэтому решетка цеолита является «гибкой», что позволяет удалять атомы Al без потери кристалличности [13, 14].

Обработка азотной кислотой несколько уменьшает удельную поверхность SiBEA и AlSiBEA по сравнению с AlBEA ($625 \rightarrow 580 \text{ м}^2/\text{г}$) в результате уменьшения объема микропор ($237 \rightarrow 219 \text{ см}^3/\text{г}$) и увеличения объема мезопор ($52 \rightarrow 55 \text{ см}^3/\text{г}$), как показано методом низкотемпературной ад(де)сорбции азота. При введении серебра удельная поверхность и объем микропор цеолитов несколько уменьшаются симбатно с его содержанием (4,0 % Ag/AlBEA — $605 \text{ м}^2/\text{г}$, $233 \text{ см}^3/\text{г}$; 3,0 % Ag/SiBEA — $567 \text{ м}^2/\text{г}$, $210 \text{ см}^3/\text{г}$). Уменьшение объема мезопор ($52 \rightarrow 48 \text{ см}^3/\text{г}$ и $55 \rightarrow 49 \text{ см}^3/\text{г}$) может свидетельствовать о том, что в полостях цеолита образуются нанокластеры серебра, блокируя доступ адсорбату [12].

На рис. 1, *a* представлены ИК-спектры исследуемых образцов в области валентных колебаний OH-групп. Полосы поглощения в спектре AlBEA относятся к гидроксильным группам, связанным с алюминием (3781 и 3667 см^{-1}), кислотным $\text{Al}-\text{O}(\text{H})-\text{Si}$ (3615 см^{-1}) и силанольным Si-OH (3750 см^{-1} с плечом при 3740 см^{-1}) группам [15]. После деалюминирования цеолита исчезают полосы поглощения, которые относятся к $\text{Al}-\text{OH}$ и $\text{Al}-\text{O}(\text{H})-\text{Si}$, что указывает на удаление алюминия из решетки, и появляются новые полосы (3739 , 3709 и 3529 см^{-1}), которые относятся соответственно к изолированным внутренним, терминальным внут-

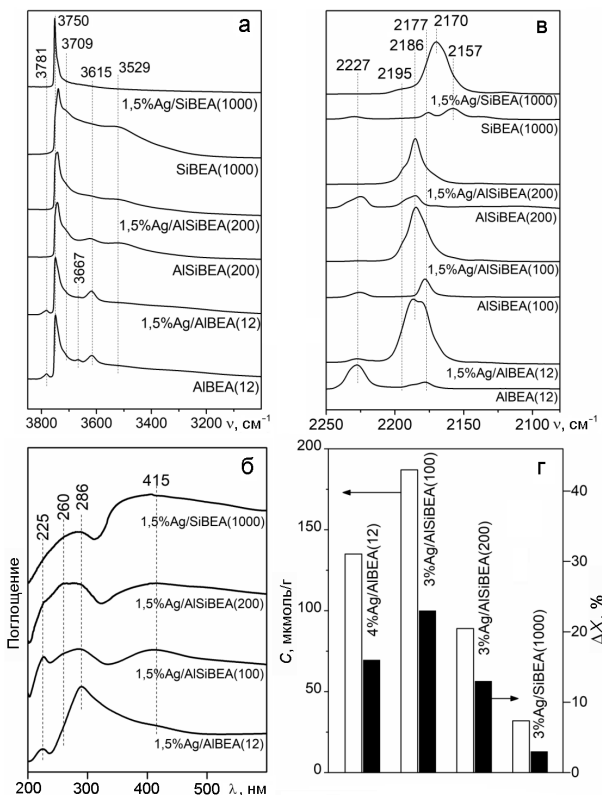


Рис. 1. Характеристики образцов $\text{Ag}/\text{AlSiBEA}$: ИК-спектры (a), УФ-спектры (б), ИК-спектры CO, адсорбированного на образцах при -173 $^{\circ}\text{C}$ и 10^{-3} Па (в), концентрация кислотных центров Льюиса (ИКС, пиридин, 150 $^{\circ}\text{C}$) и увеличение конверсии NO (ΔX , %) при СКВ этанолом в присутствии H_2 (г).

ренним и Si-OH-группам с водородной связью, расположенным в вакансиях Т-атомов решетки цеолита [16]. Для частично деалюминированных цеолитов интенсивность полос поглощения $\text{Al}-\text{OH}$ и $\text{Al}-\text{O}(\text{H})-\text{Si}$ уменьшается, что указывает на неполное удаление алюминия из решетки цеолита. Деалюминирование цеолитов подтверждено также рентгено-флуоресцентным методом и MAS-ЯМР на ядрах ^{27}Al [14]. При введении Ag в деалюминированные (частично и полностью) цеолиты уменьшается интенсивность полос, соответствующих OH-группам в вакансиях Т-атомов, что свидетельствует о локализации серебра в этих позициях.

Для оценки валентного состояния и дисперсности серебра образцы цеолитных катализаторов (после обработки в условиях СКВ NO этанолом в присутствии водорода) изучены методом электронной спектроскопии диффузного отражения (ЭСДО) в ультрафиолетовой и видимой области (рис. 1, б). Полосы поглощения около 225 нм обусловлены электронными переходами в катионах Ag^+ , в области 260—290 нм — переносом заряда в нанокластерах

Таблица 1

Каталитическая активность Ag-содержащих цеолитов BEA в СКВ NO этанолом (0,05 % NO + 0,1 % C₂H₅OH + 10,0 % O₂ (+ 0,5 % H₂) в He; 24000 ч⁻¹)

Катализатор Ag/BEA(Si/Al)	Конверсия NO, % / температура достижения, °C	
	NO + C ₂ H ₅ OH + O ₂	NO + C ₂ H ₅ OH + O ₂ + H ₂
1,5 % Ag/AlBEA(12)	26/280—380	32/280—370
4,0 % Ag/AlBEA(12)	34/300—440	50/350—385
1,5 % Ag/AlSiBEA(100)	24/400—450	48/390—420
3,0 % Ag/AlSiBEA(100)	35/400—500	57/400—435
1,5 % Ag/AlSiBEA(200)	23/340—380	27/355—400
3,0 % Ag/AlSiBEA(200)	26/350—390	39/365—410
1,5 % Ag/SiBEA(1000)	27/310—350	27/310—350
3,0 % Ag/SiBEA(1000)	31/320—360	34/310—335

Ag_n^{δ+} ($n \leq 8$), а полосы поглощения при 415 нм указывают на наличие в образцах наночастиц металлического серебра [5—7]. Интенсивность полосы при 225 нм выше для образца Ag/AlSiBEA(100). С увеличением степениdealюминирования уменьшается интенсивность полос, соответствующих нанокластерам серебра, и увеличивается интенсивность полос поглощения наночастиц серебра. Присутствие высокодисперсного окисленного серебра в цеолитах подтверждено методом РФЭС на основании близости значений энергий связи соответствующих валентных электронов.

Для анализа электронного и координационного состояния активных центров Ag/BEA цеолитов образцы с разной степенью dealюминирования изучены методом ИК фурье-спектроскопии с низкотемпературной адсорбцией CO (рис. 1, *в*). В случае AlBEA и AlSiBEA полоса поглощения при 2177 см⁻¹ характерна для CO, связанного с мостиковыми гидроксильными группами цеолита Al—O(H)—Si. Карбонильная полоса при 2227 см⁻¹ характерна для внепрететочного Al. Основная полоса в ИК-спектре SiBEA (2157 см⁻¹) соответствует CO, связанному с силанольными группами Si—OH в вакансиях T-атома. Введение серебра в цеолиты BEA приводит к образованию новых кислотных центров Льюиса, о чем свидетельствует появление полос поглощения при 2170—2195 см⁻¹. Частота валентных колебаний Ag⁺—CO зависит от химического состава носителя. Так, карбонилы на Ag/SiO₂ характеризуются ν(CO) при 2169 см⁻¹ [17], что близко к величине, наблюдаемой для CO, адсорбированного на образце Ag/SiBEA. Полоса поглощения при 2186 см⁻¹ с плечом около 2195 см⁻¹ в спектрах Ag/AlBEA и Ag/AlSiBEA соответствует симметричным и асимметричным колебаниям дикарбонилов Ag⁺—(CO)₂. Это свидетельствует по крайней мере о двух коор-

динационных вакансиях для каждого катиона Ag⁺, которые проявляют свойства льюисовских кислотных центров.

Для оценки количества и силы кислотных центров образцы цеолитов изучены методом ИК-спектроскопии с использованием молекулы-зонда пиридина [12, 13]. В ИК-спектрах пиридина, адсорбированного на Ag-содержащих цеолитах, обнаружены новые полосы поглощения при 1605 и 1450 см⁻¹, которые отвечают кислотным центрам Льюиса. Интенсивность этих полос в спектре образца Ag/AlBEA возрастает с повышением температуры десорбции по сравнению таковой в спектрах dealюминированных (в различной степени) цеолитов, что свидетельствует об увеличении силы кислотных центров. Концентрацию ЛКЦ рассчитывали по величине интегральной интенсивности полос поглощения при 1463, 1455 и 1450 см⁻¹ и температуре десорбции пиридина 150 °C (рис. 1, *г*). С увеличением соотношения Si/Al цеолитной матрицы от 12 до 100 концентрация ЛКЦ возрастает, а при дальнейшем увеличении — снижается. Таким образом, серебро в составе катализаторов Ag/BEA обуславливает их бифункциональность, образуя как редокс- (Ag⁺ и Ag_n^{δ+}), так и дополнительные кислотные центры Льюиса.

В табл. 1 приведены значения конверсии NO в процессе селективного восстановления этанолом и температурные интервалы их достижения. Отметим, что температурные зависимости конверсии NO в присутствии цеолитных катализаторов Ag/BEA описываются типичными куполообразными кривыми [13, 18]. Близкая степень превращения NO наблюдается для катализаторов с разной степенью dealюминирования (100 и 200) и одинаковым содержанием Ag при температурах до 350 °C. При более высоких температурах конверсия NO на Ag/AlSiBEA(200) уменьшается в отличие от Ag/AlSiBEA(100). По-ви-

димому, в присутствии образцов с меньшим содержанием кислотных центров Бренстеда и Льюиса ($\text{Ag/SiBEA}(1000)$ и $\text{Ag/AlSiBEA}(200)$) с повышением температуры увеличивается скорость окисления этанола кислородом и соответственно уменьшается скорость реакции восстановления NO_x .

Роль центров серебра (катионов Ag^+ и кластеров $\text{Ag}_n^{\delta+}$) заключается в активации спирта, адсорбированного на ЛКЦ, включающих серебро, путем частичного окисления с образованием более реакционноспособных промежуточных продуктов (енолов) [18—20]. На сильных кислотных центрах Льюиса поверхности Ag/AlBEA нитрит-нитратные аддукты стабилизируются в более широком интервале температур и взаимодействуют с восстановителем, активированным на серебряных центрах. Дляdealюминированных образцов с меньшим содержанием ЛКЦ сопоставимые скорости образования интермедиатов и их взаимодействие возможны в более узком диапазоне температур.

Роль ЛКЦ в цеолитах Ag/BEA подтверждена исследованием катализаторов методом DRIFT-спектроскопии *in situ* в потоке $\text{NO} + \text{O}_2$ [18]. В спектрах образцов $\text{Ag/AlBEA}(12)$ и $\text{Ag/SiBEA}(1000)$ идентифицированы полосы, соответствующие мостиковым, бидентатным и монодентатным нитратам, интенсивность которых вдвое больше для первого образца. При повышении температуры от 150 до 400 °C наблюдалось уменьшение интенсивности полос в спектрах обоих образцов. Однако при 400—500 °C интенсивности полос для $\text{Ag/AlBEA}(12)$ почти не изменяются, в отличие от значительного снижения для $\text{Ag/SiBEA}(1000)$. Таким образом, на сильных кислотных центрах Льюиса $\text{Ag/AlBEA}(12)$ нитратные аддукты стабилизируются в более широком диапазоне температур.

Влияние водорода на селективное восстановление NO этанолом в присутствии серебросодержащих цеолитов BEA зависит от соотношения Si/Al образцов. Следует отметить, что водород не является селективным восстановителем NO (восстановление не наблюдается в отсутствие этанола в реакционной смеси). На рис. 1, *г* показано увеличение конверсии NO после добавления водорода для образцов с различным соотношением Si/Al. Добавление водорода в реакционную смесь (0,05 % NO + 0,1 % $\text{C}_2\text{H}_5\text{OH}$ + 10,0 % O_2 + 0,5 % H_2 в He) способствует увеличению конверсии NO при 400 °C на образцах $\text{Ag/AlSiBEA}(100)$: от 24 до 50 % при содержании 1,5 % Ag и от 35 до 56 % в случае 3,0 % Ag. Влияние водорода менее значимо в присутствии катализаторов на основе AlBEA(12) и AlSiBEA(200) и практически отсутствует для $\text{Ag/SiBEA}(1000)$. Промотирующий эффект H_2 обратим — после уда-

ления водорода из реакционной газовой смеси конверсия NO уменьшается до значения, достигнутого в отсутствие H_2 . Влияние H_2 на процесс СКВ в присутствии Ag/BEA симбатно изменению содержания кислотных центров Льюиса в цеолитах.

В работе [21] показано, что активация H_2 на кластерах серебра, нанесенных на $\theta\text{-Al}_2\text{O}_3(110)$, происходит в зоне контакта кластера и кислотно-основной пары Льюиса ($\text{Al}-\text{O}$). После диссоциации водорода при взаимодействии с кислородом происходит образование гидроксильных и гидропероксидных частиц, более активных в парциальном окислении восстановителя [22]. Незначительный промотирующий эффект H_2 для dealюминированных цеолитов Ag/SiBEA может быть вызван тем, что небольшая поверхностная концентрация нитратных аддуктов нивелирует повышение скорости активации восстановителя в присутствии водорода. Это подтверждается составом продуктов СКВ NO этанолом (+ H_2): в присутствии $\text{Ag/SiBEA}(1000)$ содержание CO и ацетальдегида (продуктов парциального окисления восстановителя) увеличивается после добавления водорода в реакционную смесь, а степень превращения NO не изменяется. Более высокое содержание кислотных центров Льюиса на поверхности $\text{Ag/AlSiBEA}(100)$ способствует проявлению промотирующего эффекта водорода. Поэтому можно полагать, что присутствие ЛКЦ на поверхности катализатора необходимо для проявления H_2 -эффекта в СКВ NO .

Таким образом, роль серебра заключается в формировании окислительно-восстановительных и кислотных центров Льюиса, на которых происходит активация реагентов. Более широкий температурный интервал протекания процесса СКВ NO этанолом в присутствии Ag/AlBEA по сравнению с dealюминированными (в разной степени) цеолитами обусловлен высокой концентрацией сильных кислотных центров Льюиса, на которых стабилизируются нитратные аддукты, способные к взаимодействию с восстановителем, активированным на серебросодержащих центрах. Промотирующее влияние водорода на селективное восстановление NO этанолом обеспечивается наличием на поверхности катализаторов кислотных центров Льюиса и нанокластеров серебра.

Модификация цеолитов BEA для получения 1,3-бутадиена из этанола

Этанол является перспективным возобновляемым сырьем для промышленного получения ряда ценных химических продуктов. Одним из них является 1,3-бутадиен (БД), который широко используется в производстве полимерных материалов [23]. БД можно получить из этанола (метод Лебедева) и конверсией смеси этанола с ацетальдегидом (АА)

(метод Остромысленского). Оксидные тантал-силикатные композиции $Ta_2O_5\text{-}SiO_2$ — катализаторы получения БД конверсией смеси этанол/АА [24, 25], активными центрами которых являются кислотные центры Льюиса, включающие тантал.

Применение цеолитных катализаторов структуры ВЕА для получения БД из этанола обусловлено возможностью целенаправленного регулирования их кислотно-основных характеристик уже на этапе синтеза, в частности путемdealюминирования с последующим введением в кристаллическую решетку определенных гетероэлементов. В структуре цеолита гетероэлемент может находиться в двух формах: встроенный в решетку — высокодисперсный в состоянии M^{n+} , и внорешеточный — в виде кластеров и наночастиц MO_x [26]. Цеолитные материалы с введенными гетероэлементами позволяют достичь высокой селективности образования БД за счет формирования большего количества активных центров одной из ключевых стадий процесса — альдольной конденсации АА.

Dealюминированные цеолиты ВЕА с внедренными атомами тантала приготовлены постсинтетическим методом [27, 28] и охарактеризованы методами РФА, ИК-спектроскопии и УФ-видимой ЭСДО. В результате dealюминирования кислотные центры Бренстеда $[Al-O(H)-Si]$, активные в побочных реакциях дегидратации этанола до диэтилового эфира (ДЭЭ) и этилена, удаляются из цеолита, при этом при последующем введении гетероэлемента (Ta) на поверхности дегидратированного цеолита Ta/SiBEA образуются кислотные $[Ta^+(-O-Si\equiv)_4]$ и основные $[O^-Ta(-O-Si\equiv)_4]$ центры Льюиса, активные в процессе превращения смеси этанол/ацетальдегид в 1,3-бутадиен.

Образцы 1(3) % Ta/SiBEA изучены в процессе превращения этанола и его смеси с АА. Указанные цеолиты малоактивны в процессе превращения этанола, основными продуктами являются АА, этилен и ДЭЭ, селективность образования целевого продукта не превышает 16 %, при этом выход БД низкий (~3 %) (рис. 2, а). Увеличение содержания тантала в составе цеолитного катализатора от 1 до 3 % мас. не приводит к существенному увеличению выхода БД. Вместе с тем в процессе превращения смеси этанол/АА удается достичь высокой селективности образования целевого продукта. Наибольшее значение селективности по БД составляет 87—90 % при конверсии 23—28 % и содержании АА в смеси с этанолом 0,31 долевых единиц, что существенно превышает описанные в литературе показатели [24].

Повышение селективности образования БД в присутствии Ta/SiBEA достигается при увеличении содержания АА в реакционной смеси, при этом селективность по этилену и ДЭЭ уменьшается.

Снижение количества указанных продуктов происходит, вероятно, за счет замедления побочных реакций дегидратации этанола. Реакции альдольной конденсации АА и дегидратации этанола до этилена и ДЭЭ протекают на одинаковых активных центрах — кислотных центрах Льюиса и, следовательно, являются конкурирующими. Поскольку реакция восстановления кротонового альдегида (КА) по Meerweinu — Пондорфу — Верлею (МПВ) также протекает на кислотных центрах, то увеличение содержания АА в исходной реакционной смеси ожидаемо приводит к большему количеству КА в продуктах реакции. Кротиловый спирт в продуктах превращения как этанола, так и смеси этанол/АА не обнаружен, поэтому можно утверждать, что реакция дегидратации кротилового спирта не лимитирует целевой процесс.

Высокая селективность образования и выход целевого продукта бутадиена сохраняются в течение 7—8 ч непрерывной работы цеолитных катализаторов Ta/SiBEA [29]. Следует отметить, что даже после повторных циклов работы катализаторов (суммарно ~400 ч) с последующей регенерацией (в потоке 5 % O_2 в Ar, 500 °C, 2 ч) кристаллическая структура тантал-содержащих цеолитов сохраняется неизменной.

Как отмечалось выше, селективность образования БД в процессе превращения этанола в присутствии катализаторов Ta/SiBEA меньше 20 %, что обусловлено недостаточной реакционной способностью активных центров цеолитных композиций для протекания ключевой стадии целевого процесса — реакции дегидрирования этанола до АА. Известно, что допирование оксидных композиций соединениями *d*-металлов, в частности серебра, меди и цинка, приводит к интенсификации реакции дегидрирования этанола [30—33].

Поэтому для формирования поверхностных активных центров реакции дегидрирования этанола в ацетальдегид цеолитный катализатор Ta/SiBEA допировали *d*-металлами (Ag, Cu, Zn), что привело к существенному увеличению конверсии этанола и селективности по БД (рис. 2, в, г). Наиболее высокие значения этих показателей (88 и 73 % соответственно) наблюдаются в присутствии цеолита Cu/Ta/SiBEA. Селективность образования БД на Ag/Ta/SiBEA также достаточно высокая — 63 % при 83 % конверсии этанола. В присутствии образца Zn/Ta/SiBEA селективность по БД составляет 43 % при 52 % конверсии этанола, при этом в продуктах реакции наблюдается значительное количество АА (селективность 23 %), этилена и ДЭЭ (суммарная селективность 30 %), что свидетельствует о недостаточном количестве кислотных центров средней силы для протекания реакции альдольной конденсации и зна-

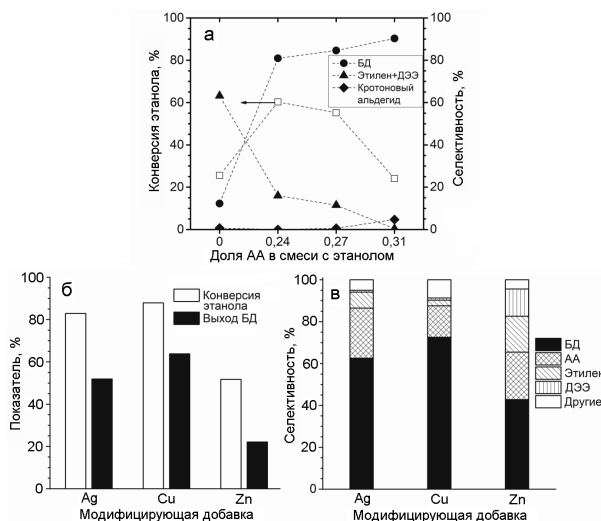


Рис. 2. Показатели процесса превращения этанола в 1,3-бутадиен в присутствии цеолитных композиций 3 % Ta/SiBEA (а) ($T = 325^{\circ}\text{C}$, $W = 0,8 \text{ ч}^{-1}$) и 1 % Ag(Cu, Zn) 1 % Ta/SiBEA (б, в) ($T = 325^{\circ}\text{C}$, $W = 0,5 \text{ ч}^{-1}$).

чительном количестве сильнокислотных центров, активных в побочных реакциях дегидратации этанола.

Увеличение нагрузки на катализатор Cu/Ta/SiBEA (скорости подачи этанола в 3 раза — до $1,5 \text{ ч}^{-1}$) приводит к существенному снижению конверсии этанола, селективности образования целевого продукта и производительности катализатора по БД с 0,19 до 0,12 г/($\Gamma_{\text{кат}} \cdot \text{ч}$) [34]. При этом в продуктах реакции значительно увеличивается количество продуктов дегидратации (этилена и ДЭЭ) и ацетальдегида, что обусловлено кинетикой многостадийного процесса.

Для выяснения роли добавок *d*-металлов (Ag, Cu, Zn) в формировании активных центров цеолитов Ta/SiBEA модифицированные образцы были исследованы методом ИК-спектроскопии с использованием молекул-зондов (пиридина и дейтерийхлороформа, CDCl_3).

В ИК-спектрах пиридина, адсорбированного на поверхности модифицированных образцов Ta/SiBEA, присутствуют полосы, которые свидетельствуют о наличии кислотных центров Льюиса (полосы поглощения при 1613 , 1599 , 1492 , 1454 и 1446 cm^{-1}) (рис. 3, а) [14, 35—37]. Полосы поглощения пиридина, координационно-связанного с ЛКЦ, для Ta/SiBEA значительно менее интенсивны. Поэтому можно предположить, что за счет встраивания ионов серебра, меди или цинка в вакансии Т-атомов формируются дополнительные кислотные центры в матрице деалюминированного цеолита BEA. Исходя из интенсивности полос в ИК-спектрах модифицированных (Ag, Cu, Zn) цеолитов Ta/SiBEA после десорбции пиридина при температуре 350°C большее количе-

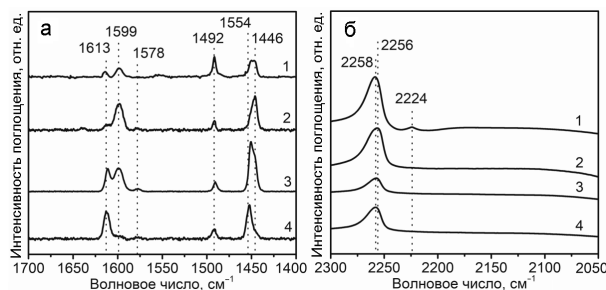


Рис. 3. ИК-спектры адсорбированного пиридина (а) и дейтерийхлороформа (б) на образцах 1 % Ta/SiBEA (1), 1 % Ag/1 % Ta/SiBEA (2), 1 % Cu/1 % Ta/SiBEA (3), 1 % Zn/1 % Ta/SiBEA (4) после вакуумирования при температуре 250°C (пиридин) и 50°C (CDCl_3).

ство сильных ЛКЦ наблюдается для цинкодержащего образца. В цеолите Ag/Ta/SiBEA присутствуют преимущественно слабые ЛКЦ.

В ИК-спектре дейтерийхлороформа, адсорбированного на поверхности образца Ta/SiBEA, присутствуют полосы при 2558 и 2556 cm^{-1} , которые свидетельствуют о наличии слабых основных центров (рис. 3, б) [38]. В ИК-спектрах модифицированных образцов интенсивность указанных полос значительно ниже. Более того, полоса поглощения CDCl_3 , адсорбированного на основных центрах средней силы ($\sim 2220 \text{ cm}^{-1}$), в указанных ИК-спектрах отсутствует, что свидетельствует о том, что введение серебра, меди или цинка в состав Ta/SiBEA приводит к блокированию основных центров средней силы с одновременным уменьшением количества слабых центров.

Сопоставление результатов ИК-спектроскопии модифицированных цеолитов с показателями целевого процесса получения БД из этанола в их присутствии свидетельствует о том, что введение серебра, меди и цинка в состав цеолита Ta/SiBEA приводит к формированию дополнительных кислотных центров Льюиса, активных в реакции альдольной конденсации АА. При этом большая концентрация сильных ЛКЦ, ускоряющих побочную реакцию дегидратации этанола до этилена, наблюдается для медь- и цинкодержащих образцов, при введении серебра формируются преимущественно слабые кислотные центры Льюиса, менее активные в целевом процессе.

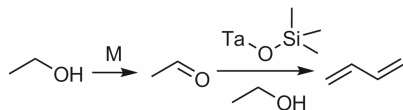
Согласно результатам исследования образцов методами ЭСДО, РФЭС, ПЭМ на поверхности модифицированных композиций Ta/SiBEA присутствуют кластеры и субнаночастицы металлов (Ag, Cu, Zn), силикатная матрица цеолита способствует их стабилизации в высокодисперсном состоянии даже после катализа. Их роль заключается главным образом в формировании активных центров для протекания реакции дегидрирования этанола в АА с большей скоростью, чем на основных центрах Ta/SiBEA.

Таблица 2

Каталитические свойства цеолитных катализаторов Nb/SiBEA в процессе превращения этанола и смеси этанол/акетальдегид ($T = 325^\circ\text{C}$, $W = 0,8 \text{ ч}^{-1}$)

Катализатор	Конверсия, %	Селективность, %						Удельная скорость, моль/(моль Nb·ч)		
		БД	АА	Этилен	ДЭЭ	КА	Другие	превращения этанола (этанол/АА)	образования	
Этанол										
0,7 % Nb/SiBEA	42,4	27,9	16,8	42,0	12,2	0,1	1,0	98	27	53
2 % Nb/SiBEA	27,1	26,0	29,6	28,0	15,6	0,1	0,7	22	6	10
Этанол/АА = 2,7										
0,7 % Nb/SiBEA	38,5	54,8	—	36,8	2,4	2,5	3,5	89	49	35
2 % Nb/SiBEA	22,1	70,6	—	11,9	2,0	11,8	3,7	18	13	3

Можно полагать, что реакция дегидрирования этанола протекает на активных центрах, сформированных с участием серебра, меди и цинка, а дальнейшее превращение смеси этанол/АА по реакциям альдольной конденсации, восстановления по МПВ и дегидратации образованного КА происходит на тантал-содержащих кислотных центрах цеолита. Схематично процесс получения БД из этанола в присутствии M/Ta/SiBEA (M: Ag, Cu, Zn) можно представить следующим образом:



Влияние природы частиц ниобия в составе цеолитов Nb/SiBEA на их каталитические свойства в tandem-процессах, в частности в процессе получения 1,3-бутадиена из этанола, установлено в работе [26].

Показано, что активные центры, сформированные с участием различных состояний ниобия в структуре цеолита Nb/SiBEA, ускоряют разные стадии процесса получения БД из этанола. Встраивание ниобия в кристаллическую решетку деалюминированного цеолита BEA в вакансии Т-атомов подтверждается методами РФА, ЯМР, ИК-спектроскопии и ЭСДО; соотношение ниобия в различных состояниях зависит от его (Nb) количества, введенного в образец. Образцы Nb/SiBEA (0,7 и 2 % мас. Nb) содержат высокодисперсный ниобий в состоянии Nb⁵⁺ (по результатам ЭСДО), первый содержит большее количество встроенного Nb(V), тогда как во втором образце присутствует внепрещеточный Nb(V) и наночастицы NbO_x.

В табл. 2 приведены данные о каталитической активности (селективности) цеолитов Nb/SiBEA в процессе превращения этанола и его смеси с АА. Основными продуктами конверсии этанола являются БД, АА, этилен и ДЭЭ, обнаружено также небольшое

количество (<1 %) кротонового альдегида и изомеров бутена. Катализатор 0,7 % Nb/SiBEA характеризуется большей конверсией этанола и селективностью образования БД, в результате чего достигается почти в два раза больший выход БД, нежели для образца 2,0 % Nb/SiBEA. Также наблюдается различие образцов по продуктам дегидрирования (АА) и дегидратации (этилен и ДЭЭ). Более высокая селективность образования АА на 2,0 % Nb/SiBEA обусловлена, вероятно, меньшим количеством на его поверхности центров альдольной конденсации для последующего преобразования АА в БД. Большая селективность образца 0,7 % Nb/SiBEA по этилену и ДЭЭ свидетельствует о большем количестве кислотных центров, на которых протекает побочная реакция дегидратации этанола.

Превращение смеси этанол/АА протекает с более высокой конверсией и выходом целевого продукта (БД) в присутствии 0,7 % Nb/SiBEA, на этом основании можно предположить, что реакция альдольной конденсации протекает с большей скоростью на центрах, сформированных при участии Nb(V), встроенного в кристаллическую решетку BEA. Вместе с тем на катализаторе 2,0 % Nb/SiBEA достигается существенно более высокая селективность образования БД (70,6 %), чем для 0,7 % Nb/SiBEA (54,8 %).

Наблюданное увеличение в продуктах превращения смеси этанол/АА количества этилена (с 11,9 до 29,5 %) в присутствии катализатора 2,0 % Nb/SiBEA и практически одинаковое значение селективности образования БД для образца с 0,7 % Nb при повышении температуры процесса с 325 до 350 °C дает основание полагать, что побочная реакция дегидратации этанола может протекать на кислотных центрах, сформированных внепрещеточным Nb(V) и NbO_x.

В продуктах превращения смеси этанола с АА в присутствии 2,0 % Nb/SiBEA наблюдается значительно большее количество КА (10,5—11,8 %). Существенная разница в селективности образования КА может быть обусловлена тем, что реакция его восстановления этанолом становится ключевой в процессе получения БД.

Для оценки влияния локализации ниобия в цеолитной матрице ВЕА на активность образцов Nb/SiBEA в реакции восстановления КА этанолом по МПВ проведено тестирование их активности в процессе превращения смеси этанол/КА [26]. Более высокая конверсия и количество образовавшегося БД (58,2 %) наблюдаются на образце 0,7 % Nb/SiBEA, поэтому можно предположить, что реакция восстановления по МПВ протекает с большей скоростью на центрах, сформированных при участии встроенного Nb(V).

Удельная скорость образования 1,3-бутадиена (частота оборотов (TOF)) в процессах превращения этанола и смеси этанол/АА на катализаторе 0,7 % Nb/SiBEA, содержащем только встроенный в кристаллическую решетку цеолита структуры ВЕА Nb(V), в несколько раз превышает величину TOF для образца 2,0 % NbSiBEA с внепрешеточным Nb(V) и нанодисперсным NbO_x (табл. 2). Скорость реакции дегидрирования этанола в присутствии 0,7 % Nb/SiBEA почти в четыре раза выше, чем для 2,0 % Nb/SiBEA. В побочных реакциях дегидратации этанола до этилена и ДЭЭ, протекающих на кислотных центрах поверхности катализатора, также более активен образец 0,7 % Nb/SiBEA.

Таким образом, на кислотных центрах Льюиса, сформированных Nb(V), встроенным в матрицу цеолита ВЕА, реакции дегидрирования этанола, альдольной конденсации АА и его восстановление этанолом по МПВ, как и тандем-процесс получения БД из этанола, протекают более эффективно, нежели на центрах, сформированных с участием внепрешеточного Nb(V) и наночастиц NbO_x.

Резюмируя результаты выполненных исследований по выяснению бифункциональной природы активных центров поверхности цеолитных катализаторов структуры ВЕА отметим следующее. Проявление СКВ-активности катализаторов Ag/ВЕА и промотирующего влияния водорода на процесс селективного восстановления оксидов азота (NO_x) этанолом обусловлено бифункциональными свойствами их поверхности — наличием кислотных и редокс-центров. В результате выяснения характера влияния активных компонентов и модифицирующих добавок цеолитных композиций Cu(Ag,Zn)/Ta/SiBEA на кислотно-основные характеристики поверхности предложены эффективные катализаторы получения 1,3-бутадиена из этанола; в присутствии Cu/Ta/

SiBEA достигаются наибольшие значения конверсии этанола и селективности образования целевого продукта — бутадиена с высоким (>60 %) выходом. Встраивание ниобия в структуру цеолита ВЕА способствует формированию большего количества кислотных центров Льюиса в пересчете на 1 моль Nb, что позволяет получать БД из этанола (смеси этанол/ацетальдегид) в присутствии катализаторов с меньшим содержанием активного компонента.

Литература

1. Corma A. // *Angew. Chem. Int. Ed.* — 2016. — **55**. — P. 6112—6113.
2. Friend C. M., Xu B. // *Account. Chem. Res.* — 2017. — **50**. — P. 517—521.
3. Climent M. J., Corma A., Iborra S., Sabater M. J. // *ACS Catal.* — 2014. — **4**. — P. 870—891.
4. Попович Н. А., Соловьев С. А., Орлик С. Н. // Теорет. и эксперим. химия. — 2016. — **52**, № 3. — P. 133—151. — [Theor. Exp. Chem. — 2016. — **52**, N 3. — P. 133—151 (Engl. Transl.)].
5. Shibata J., Shimizu K. I., Takada Y. et al. // *J. Catal.* — 2004. — **227**. — P. 367—374.
6. Shibata J., Takada Y., Shichi A. et al. // *J. Catal.* — 2004. — **222**. — P. 368—376.
7. Bogdanchikova N., Meunier F. C., Avalos-Borja M. et al. // *Appl. Catal. B*. — 2002. — **36**. — P. 287—297.
8. Shimizu K.-I., Shibata J., Yoshida H. et al. // *Appl. Catal. B*. — 2001. — **30**. — P. 151—162.
9. Iglesias-Juez A., Fernández-García M., Martínez-Arias A. et al. // *Top. Catal.* — 2004. — **30/31**. — P. 65—70.
10. She X., Flytzani-Stephanopoulos M. // *J. Catal.* — 2006. — **237**. — P. 79—93.
11. Deng H., Yu Y., Liu F. et al. // *ACS Catal.* — 2014. — **4**. — P. 2776—2784.
12. Dzwigaj S., Popovych N. O., Kyriienko P. I. et al. // *Micropor. and Mesopor. Mater.* — 2013. — **182**. — P. 16—24.
13. Popovych N. O., Kyriienko P. I., Soloviev S. O. et al. // *Micropor. and Mesopor. Mater.* — 2016. — **226**. — P. 10—18.
14. Dzwigaj S., Millot Y., Krafft J.-M. et al. // *J. Phys. Chem. C*. — 2013. — **117**. — P. 12552—12559.
15. Chakarova K., Hadjiivanov K. // *J. Phys. Chem. C*. — 2011. — **115**. — P. 4806—4817.
16. Hadjiivanov K. I., Vayssilov G. N. // *Adv. Catal.* — Elsevier Inc., 2002. — P. 307—511.
17. Hadjiivanov K., Knözinger H. // *J. Phys. Chem. B*. — 1998. — **102**. — P. 10936—10940.
18. Popovych N. O., Kyriienko P. I., Soloviev S. O. et al. // *Micropor. and Mesopor. Mater.* — 2015. — **203**. — P. 163—169.
19. Yan Y., Yu Y., He H., Zhao J. // *J. Catal.* — 2012. — **293**. — P. 13—26.
20. He H., Li Y., Zhang X. et al. // *Appl. Catal. A*. — 2010. — **375**. — P. 258—264.
21. Hirunsit P., Shimizu K., Fukuda R. et al. // *J. Phys. Chem. C*. — 2014. — **118**. — P. 7996—8006.
22. Sawabe K., Hiro T., Shimizu K. I., Satsuma A. // *Catal. Today*. — 2010. — **153**. — P. 90—94.

23. Pomalaza G., Capron M., Ordomsky V., Dumeignil F. // *Catalysts.* — 2016. — **6**. — P. 203—238.
24. Chae H.-J., Kim T.-W., Moon Y.-K. et al. // *Appl. Catal. B.* — 2014. — **150/151**. — P. 596—604.
25. Kim T.-W., Kim J.-W., Kim S.-Y. et al. // *Chem. Eng. J.* — 2015. — **278**. — P. 217—223.
26. Kyriienko P. I., Larina O. V., Popovych N. O. et al. // *J. Mol. Catal. A.* — 2016. — **424**. — P. 27—36.
27. Dzwigaj S., Millot Y., Che M. // *Catal. Lett.* — 2010. — **135**. — P. 169—174.
28. Tielens F., Shishido T., Dzwigaj S. // *J. Phys. Chem. C.* — 2010. — **114**. — P. 9923—9930.
29. Kyriienko P. I., Larina O. V., Soloviev S. O. et al. // *Catal. Commun.* — 2016. — **77**. — P. 123—126.
30. Janssens W., Makshina E. V., Vanelderden P. et al. // *ChemSusChem.* — 2015. — **8**. — P. 994—1008.
31. Angelici C., Velthoen M. E. Z., Weckhuysen B. M., Bruijnincx P. C. A. // *ChemSusChem.* — 2014. — **7**. — P. 2505—2515.
32. Sekiguchi Y., Akiyama S., Urakawa W. et al. // *Catal. Commun.* — 2015. — **68**. — P. 20—24.
33. Yan T., Dai W., Wu G. et al. // *ACS Catal.* — 2018. — **8**. — P. 2760—2773.
34. Kyriienko P. I., Larina O. V., Soloviev S. O. et al. // *ACS Sustain. and Chem. Eng.* — 2017. — **5**. — P. 2075—2083.
35. Corma A., Llabrés I Xamena F. X., Prestipino C. et al. // *J. Phys. Chem. C.* — 2009. — **113**. — P. 11306—11315.
36. Dzwigaj S., Janas J., Gurgul J. et al. // *Appl. Catal. B.* — 2009. — **85**. — P. 131—138.
37. Marakatti V. S., Halgeri A. B. // *RSC Adv.* — 2015. — **5**. — P. 14286—14293.
38. Angelici C., Velthoen M. E. Z., Weckhuysen B. M., Bruijnincx P. C. A. // *Catal. Sci. and Technol.* — 2015. — **5**. — P. 2869—2879.

Поступила в редакцію 30 мая 2018 г.
В окончательном варианте 6 июня 2018 г.

Дизайн біфункціональних катализаторів на основі цеолітів BEA для тандем-процесів за участию етанолу

Н. О. Попович¹, О. В. Ларіна¹, С. М. Орлик¹, П. І. Кириєнко¹, С. О. Соловйов¹, С. Дзвигай (S. Dzwigaj)²

¹ Інститут фізичної хімії ім. Л. В. Писаржевського НАН України
просп. Науки, 31, Київ 03028, Україна. E-mail: orlyk@inphyschem-nas.kiev.ua

² Sorbonne Universités, UPMC Univ Paris 06, CNRS, UMR 7197, Laboratoire de Réactivité de Surface
F-75005, Paris, France

Представлено результати створення цеолітних катализаторів структури BEA, що містять гетероелементи (Ta, Nb) і модифіковані d-металами (Ag, Cu, Zn), для процесів за участю етанолу. Активність Ag/BEA в процесі селективного відновлення оксидів азоту (NO_x) етанолом обумовлено наявністю кислотних і редокс-центрів поверхні; промотуючий вплив водню забезпечується наявністю кислотних центрів Льюїса та нанокластерів срібла. У процесі одержання 1,3-бутадіену з етанолу в присутності Cu/Ta/SiBEA досягаються найбільші значення конверсії етанолу та селективності утворення цільового продукту з високим (>60 %) виходом.

Ключові слова: цеоліт BEA; СКВ $NO\text{-C}_2\text{H}_5\text{OH} (+\text{H}_2)$; Ag/BEA; гетероелементи Та, Nb; етанол/ацетальдегід; 1,3-бутадіен.

Design of Bifunctional Catalysts Based on BEA Zeolites for Tandem Processes with Participation of Ethanol

N. O. Popovych¹, O. V. Larina¹, S. M. Orlyk¹, P. I. Kyriienko¹, S. O. Soloviev¹, S. Dzwigaj²

¹ L. V. Pysarzhevsky Institute of Physical Chemistry, National Academy of Sciences of Ukraine
Nauky Ave., 31, Kyiv 03028, Ukraine. E-mail: orlyk@inphyschem-nas.kiev.ua

² Sorbonne Universités, UPMC Univ Paris 06, CNRS, UMR 7197, Laboratoire de Réactivité de Surface
F-75005, Paris, France

The results of design BEA zeolite catalysts, containing Ta(Nb) hetero-elements and modified with d-metals (Ag, Cu, Zn), for the processes involving ethanol are presented. The activity of Ag/BEA in the process of selective reduction of nitrogen oxides (NO_x) with ethanol is due to the presence of acidic and redox surface centers; the promoting effect of hydrogen is provided by the presence of Lewis acid sites and silver nanoclusters. In the process of 1,3-butadiene obtaining from ethanol in the presence of Cu/Ta/SiBEA, the highest values of ethanol conversion and the selectivity of the formation of the target product with a high (>60%) yield are achieved.

Key words: BEA zeolite; SCR $NO\text{-C}_2\text{H}_5\text{OH} (+\text{H}_2)$; Ag/BEA; Ta, Nb hetero-elements; ethanol/acetaldehyde; 1,3-butadiene.